# 映像伝送方式

# Video Transmission System

面像応答システムなどの画像通信システムを飛躍的に発展させるための一要因として、経済的な映像伝送方式の実用化が挙げられる。このような観点に立ち、今回、画像応答システム用伝送方式として、電話ケーブルなどを使用し、映像と音声を同時に伝送することが可能な映像音声同時伝送方式の開発を行なった。この方式では、経済化、高信頼度化、小形化及び消費電力の低減を図るために専用の集積回路の開発を行ない、中継器の大幅なIC化を実現した。この結果、十分に経済的な映像伝送路を提供できる見通しを得た。

柿原英人\* Kakihara Hideto 高崎喜孝\*\* Takasaki Yoshitaka 田中正美\*\*\* Tanaka Masami

田中止美\*\*\* Tanaka Masami 草薙純介\*\*\*\* Kusanagi Junsuke

### 1 緒言

画像応答システム(VRS: Video Response System)は、センタと利用者端末の間に 4 MHz帯域の個別配線方式による映像伝送路を必要とする。このための伝送媒体としては、既存通信施設の有効利用を考慮して電話ケーブルなどを使用する。

したがって、電話の約1,000倍の帯域をもつカラーテレビジョン信号をこれらの平衡対ケーブルで伝送するには、その減衰を等化増幅して補正する必要があり、ケーブルの途中に中継器を逐次挿入し、多段中継する必要がある。このため、中継器には厳しい経済性、信頼性などが要求される。

これらのうち、まず中継器の大幅な経済化を中心に検討を 進め、実験回線を構成して調査を行ない、初期特性及び長期 安定度特性は共に良好な結果を得た。これに基づいて、更に 経済化、高信頼度化、小形化及び消費電力の低減を図るために 中継器の大幅なIC化を行ない、実験回線を構成して試験し た結果、この方式はVRS用映像伝送方式として十分実用に 供しできる見通しを得た。この論文ではIC化中継器を中心 に、方式、装置構成、試験結果などについて述べる。

# 2 方式概要

### 2.1 適用領域

VRSはC-E(Center to End)の画像情報システムであり、地域情報サービスとして発展することが想定されるので、大都市での電話需要分布から、図1に示す伝送路構成を伝送系のモデルとした。伝送媒体としては、電話用平衡対ケーブル及び広帯域の平衡対ケーブルを対象とした。

## 2.2 伝送方式

### (1) 映像音声同時伝送方式

VRSセンタから利用者端末へは映像信号のほか、これに付随する音声信号を伝送する必要がある。このため、VRSセンタで音声信号を周波数変調し、ベースバンドのNTSC(National Television System Committee)方式カラーテレビジョン信号と結合して伝送する映像音声同時伝送方式を採用した。図2にこの方式の周波数配置を示す。

### (2) AGC方式

温度などの環境条件の変化によってケーブルの損失が変動するので、中継器ではそれらを自動的に補正するため、AGC (自動利得調整回路)を必要とする。

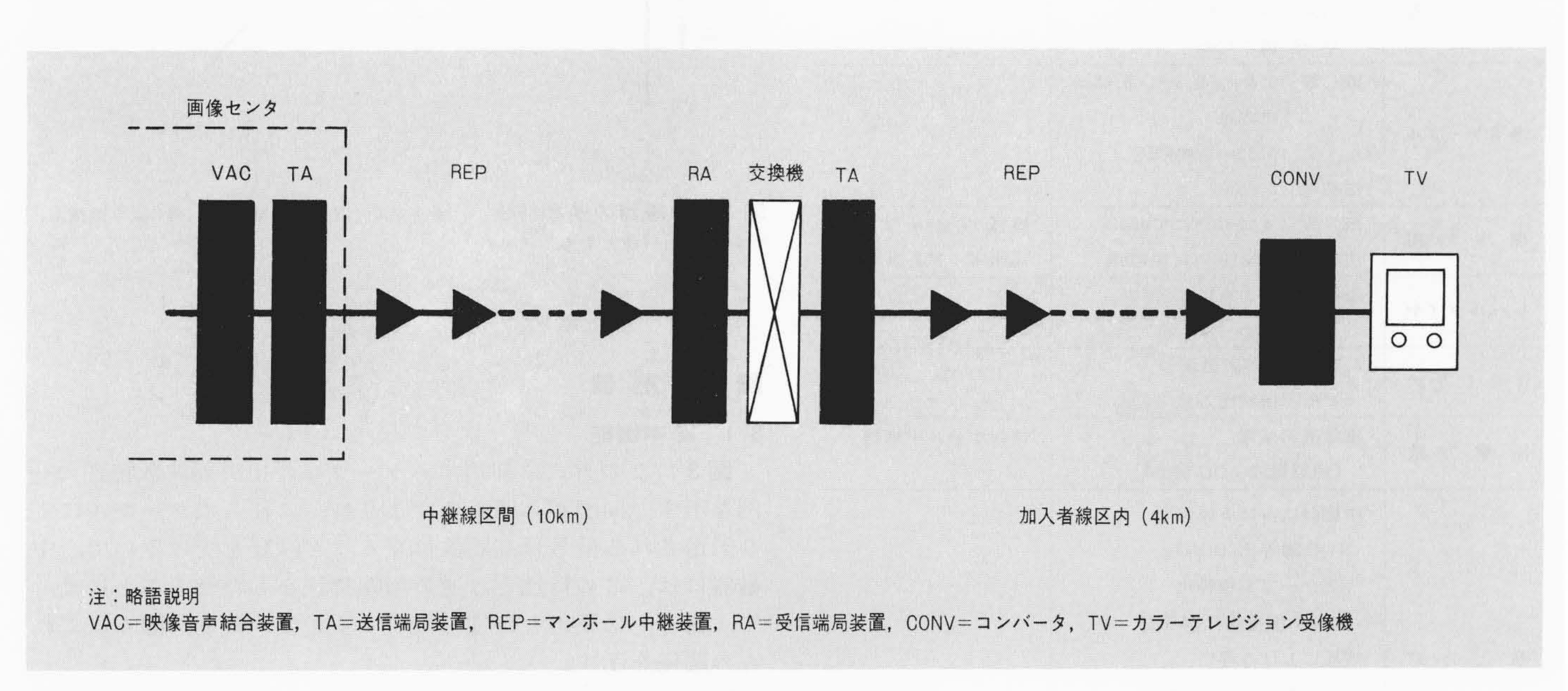


図 | 伝送路のモデル 大都市での電話需要分布から想定した伝送路構成である。

<sup>\*</sup> 日本電信電話公社技術局 \*\* 日立製作所中央研究所 \*\*\* 日立製作所デバイス開発センタ \*\*\*\* 日立製作所戸塚工場

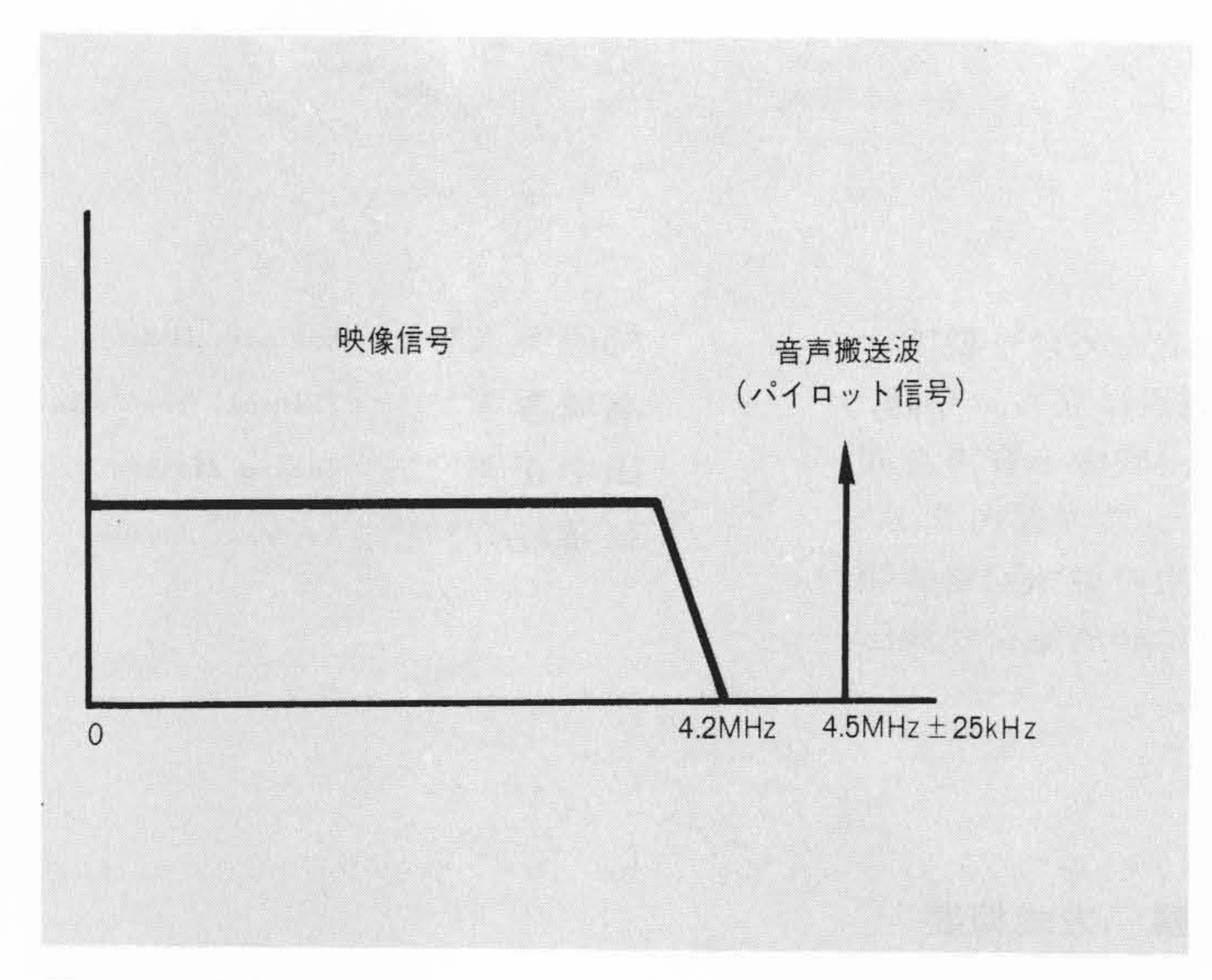
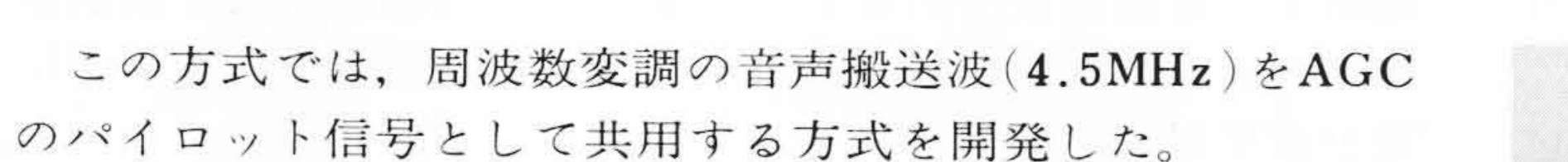


図2 映像音声同時伝送方式の周波数配置 音声信号を周波数変調して、ベースバンドの映像信号と合成し、伝送する方式である。



# (3) 給電方式

マンホールなどに設置する中継器への給電は、映像線と監視線を利用した重信回線による定電流給電方式を採用した。 給電電圧は対地に対し最大60V、線間で最大120Vである。

表1に伝送方式の諸元を示す。

表 I 方式諸元 この方式の特徴は、映像と音声を同時に伝送することができ、更に音声搬送波をAGCのパイロット信号として共用していることにある。

項 目	諸    元	記	事	
伝 送 信 号	NTSCカラーテレビジョン信号	I Vp-p/75	Ω	
	最大: <b> 4</b> km			
適用距離	加入者線: 4 km	_		
	中 継 線: 10km			
	既 設:0.4mm, 0.5mm, 0.65mm			
適用ケーブル	市内紙			
週州ソーンル	0.32mm市内PEF			
	広帯域:0.65 mm			
標準利得	既 設: 4 MHz点にて40dB	既設:0.6k	m	
१७६ 午 १५ १५	広帯域: 4 MHz点にて47dB	広帯域:約	2.3km	
レベルダイヤ	各中継器出力点にて		225	
D-1707-11	75Ω換算 IVp-p			
AGC方式	4.5MHz音声搬送波			
7 4 0 77 30	ピーク値検出方式			
給 電 方 式	重信直流給電	マンホール	中継器	
心 电 刀 式	(給電電流:DC 50mA)			
	中継器における等化			
	(I)距離等化(BON)			
	(2)ケーブル種等化			
	(3)√f 偏差等化(AGC)			
等化方式	端局における等化			
	(1)距離比例誤差等化			
	(2)MOP UP等化			
	(3)局内損失等化			
	(4)位相等化			

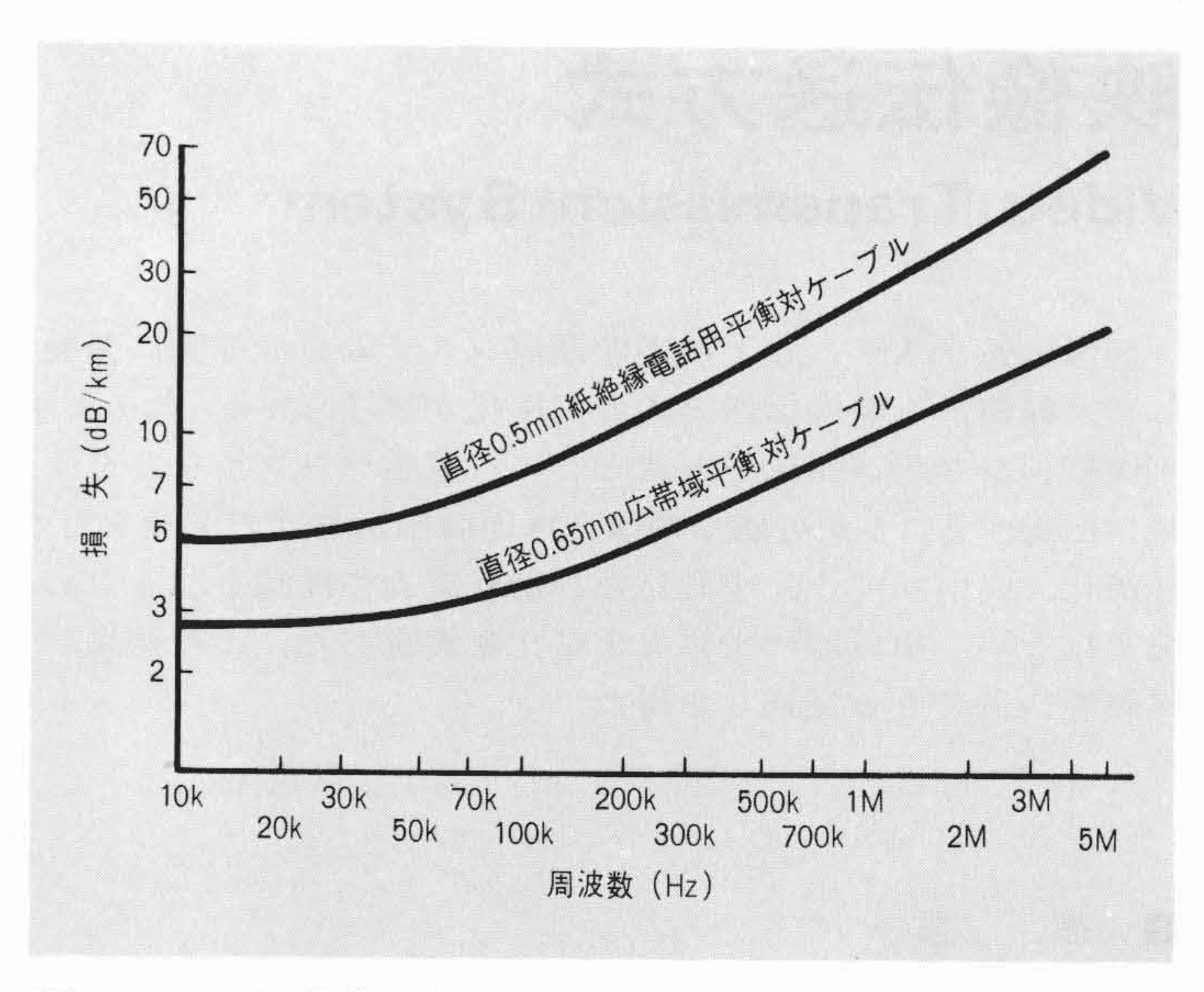


図3 ケーブル損失周波数特性 直径0.5mm紙絶縁電話用平衡対ケーブルは、1km当たり4MHzで62dBの、広帯域平衡対ケーブルは、19dBの損失をもつ。

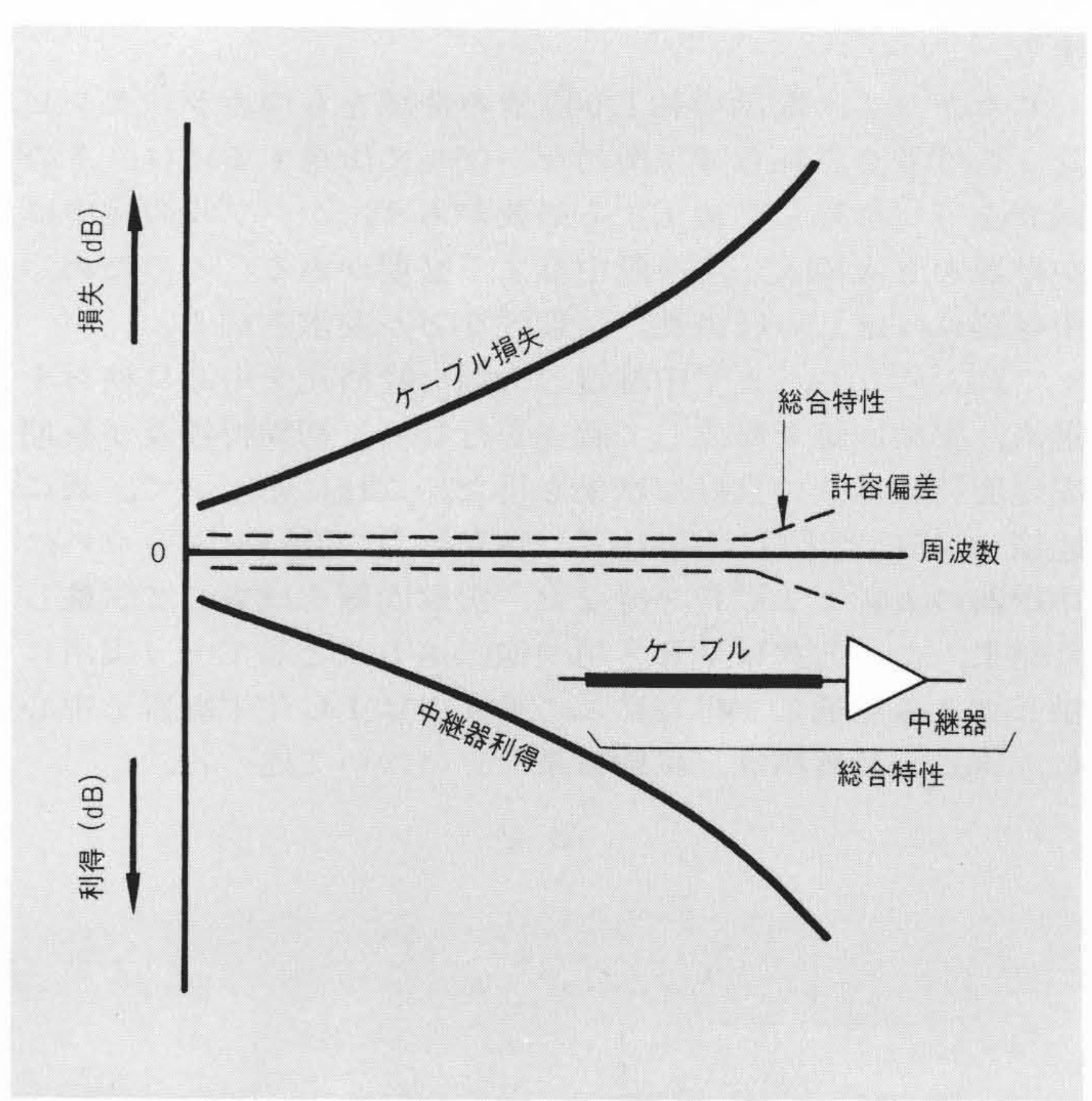


図 4 中継器の基本特性 ケーブルの損失を中継器の利得により補償し、総合特性を平坦とする。

### 3 中継器

### 3.1 基本機能

図3にこの方式に利用するケーブルの損失周波数特性の一例を示す。同図から明らかなように、これらのケーブルにより伝送される信号は高周波になるほど減衰を受けるので、中継器には、この特性とは逆の増幅特性をもたせることによって、総合的に平坦な特性を実現する必要がある。図4にこれらの関係を示す。

図5にIC化中継器の基本構成を示す。この回路では、IC化に適した回路構成とするため、インダクタンスを用いない能動等化器を開発して採用した。同図でB/U及びU/Bは、平衡一不平衡変換回路で、トランスレスのIC回路で構成して

いる。L-EQLは線路等化器,AGCは自動利得調整回路で、いずれもICによる不平衡回路で構成している。L-EQLは従来のボーデ形を用いた場合、多くのインダクタンスを必要とするので、これに代わる能動形可変等化器を開発した。

一図6は、可変等化器の回路構成図を示すもので、回路の利得A(dB)は、

$$A=20rac{rac{Rx}{R_0}}{2+rac{Rx}{R_0}} \quad \log_{10}\left|1+Y(joldsymbol{\omega})
ight|$$

ここに A: 求める利得(dB)

 $Y(j\omega)$ :回路網のアドミタンス( $\Im$ )

Rx:可変抵抗値( $\Omega$ ) R<sub>0</sub>:基準抵抗値( $\Omega$ )

で与えられ、 $4\,\mathrm{MHz}$ の周波数で $0\sim10\mathrm{dB}$ まで連続に可変できる。この等化器の特長は、汎用性のある演算増幅器1個で構成でき、かつ回路もC(コンデンサ)、R(抵抗)で単純に構成できるため、 $I\,C$ 化、低電力化に適した形式といえる。

L-EQLは、このほか  $4\,\mathrm{MHz}$  で $10\mathrm{dB}$  と $20\mathrm{dB}$  の固定等化器をもち、これら 3 種の等化器で 0 ~ $40\mathrm{dB}$  の連続可変を行なっている。この構成により、従来の $\mathrm{BON}^{*1}$  及び高価なインダクタンスが不要となるため、経済的な構成が可能となった。

AGC-EQLは、4.5MHzの音声搬送波をパイロット信号とする $\sqrt{f}$ 特性のパイロットAGC方式を採用している。またこの回路は、 $\sqrt{f}$ 特性に従って利得を調整するための可変素子(ダイオード)を含む専用のモノリシック ICを使用しており、 $\pm 4dB$ の可変幅を得ている。

中継器の最大利得は、熱雑音によるSN比、自己近端漏話による発振余裕から制限を受け、電話用平衡対ケーブルの場合4MHzで40dB、広帯域平衡対ケーブルの場合47dBに設定している。これにより、中継間隔は前者の場合約0.6 km、後者で約2.3kmである。

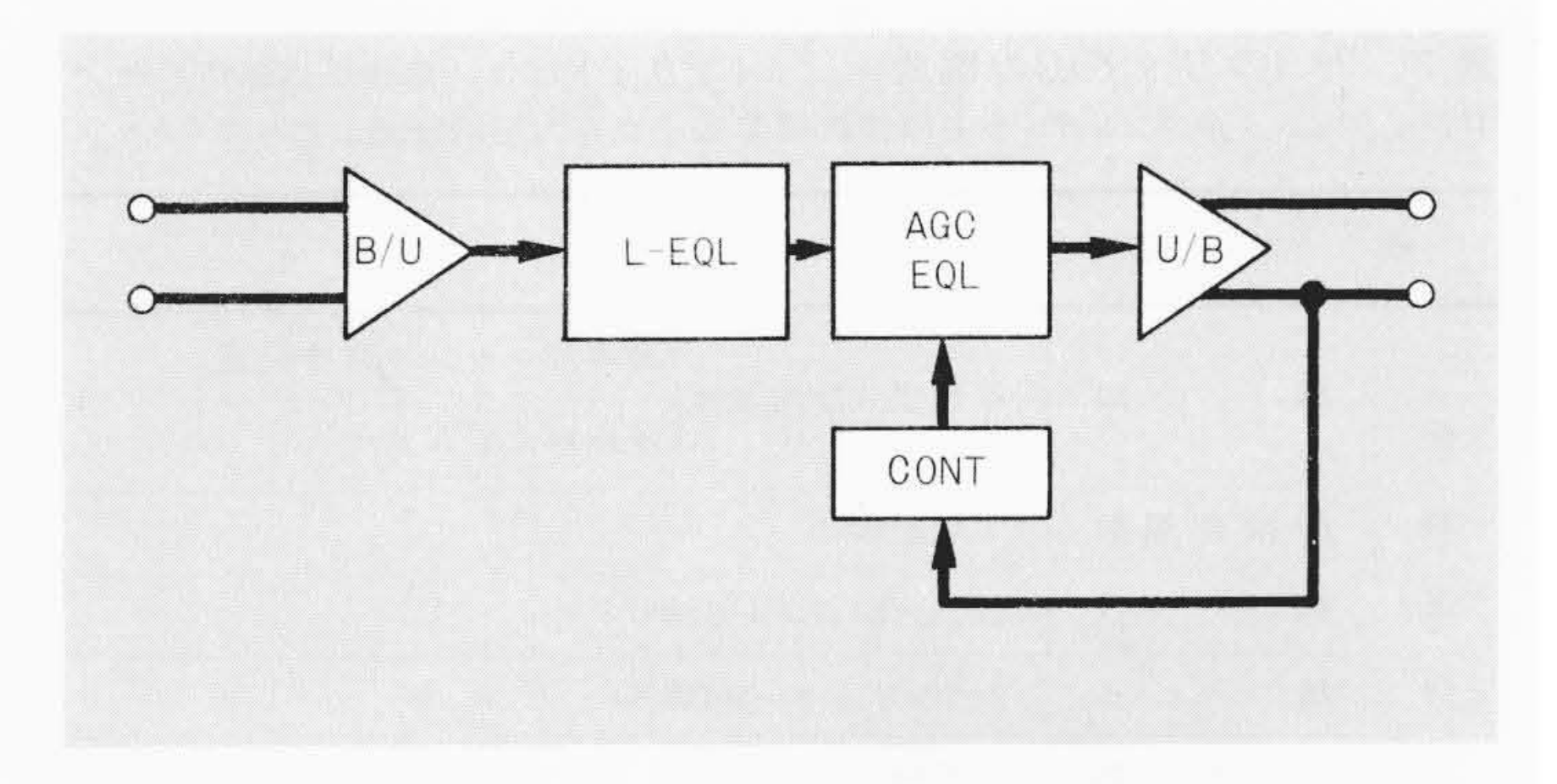


図 5 中継器の基本構成 中継器は平衛-不平衡変換回路(U/B, B/U), 線路等化器(L-EQL), 自動利得調整回路(AGC-EQL, CONT)から構成される。

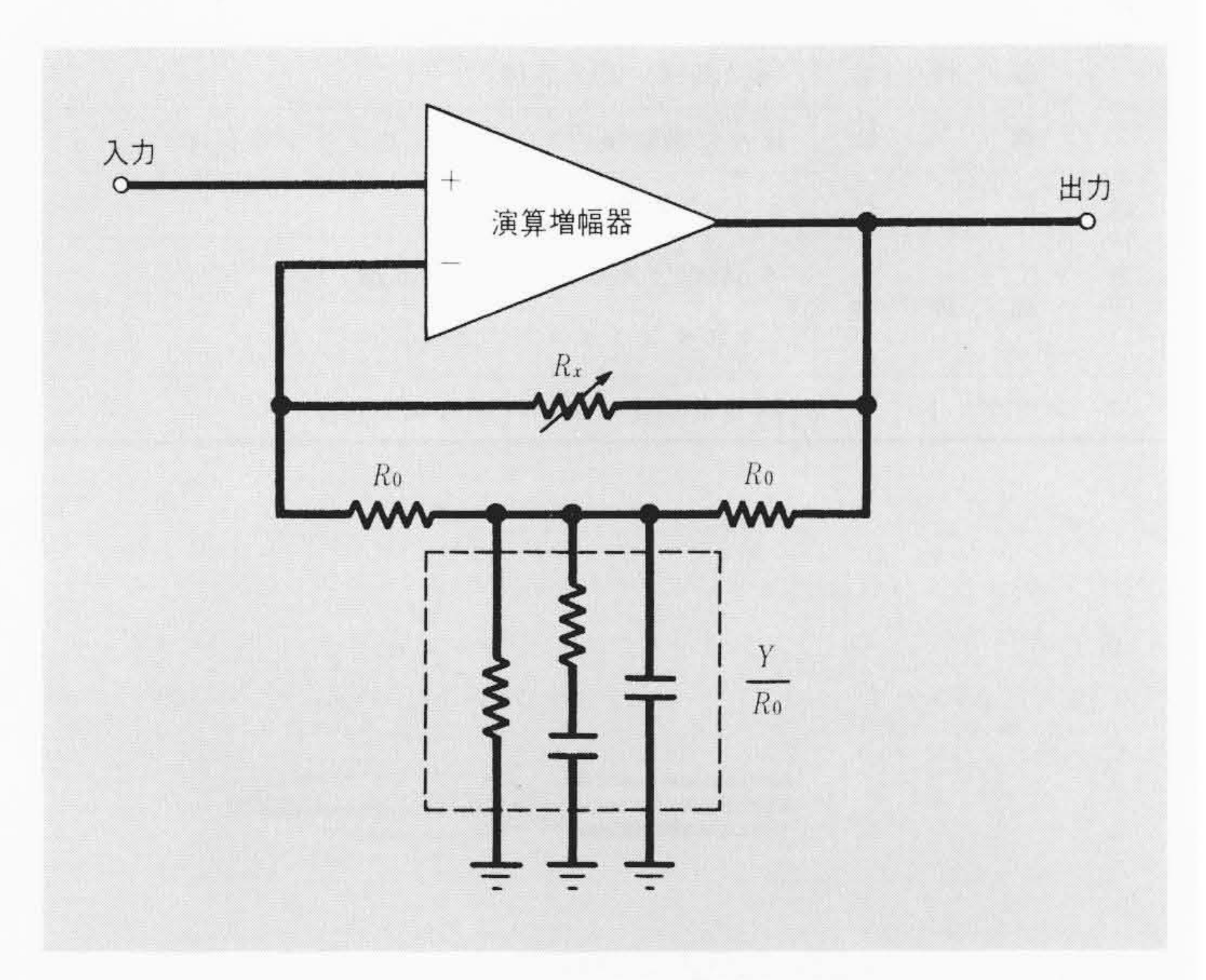


図 6 可変等化器の回路構成 ネットワークがC(コンデンサ), R(抵抗) だけで構成できるため、IC化に適している。

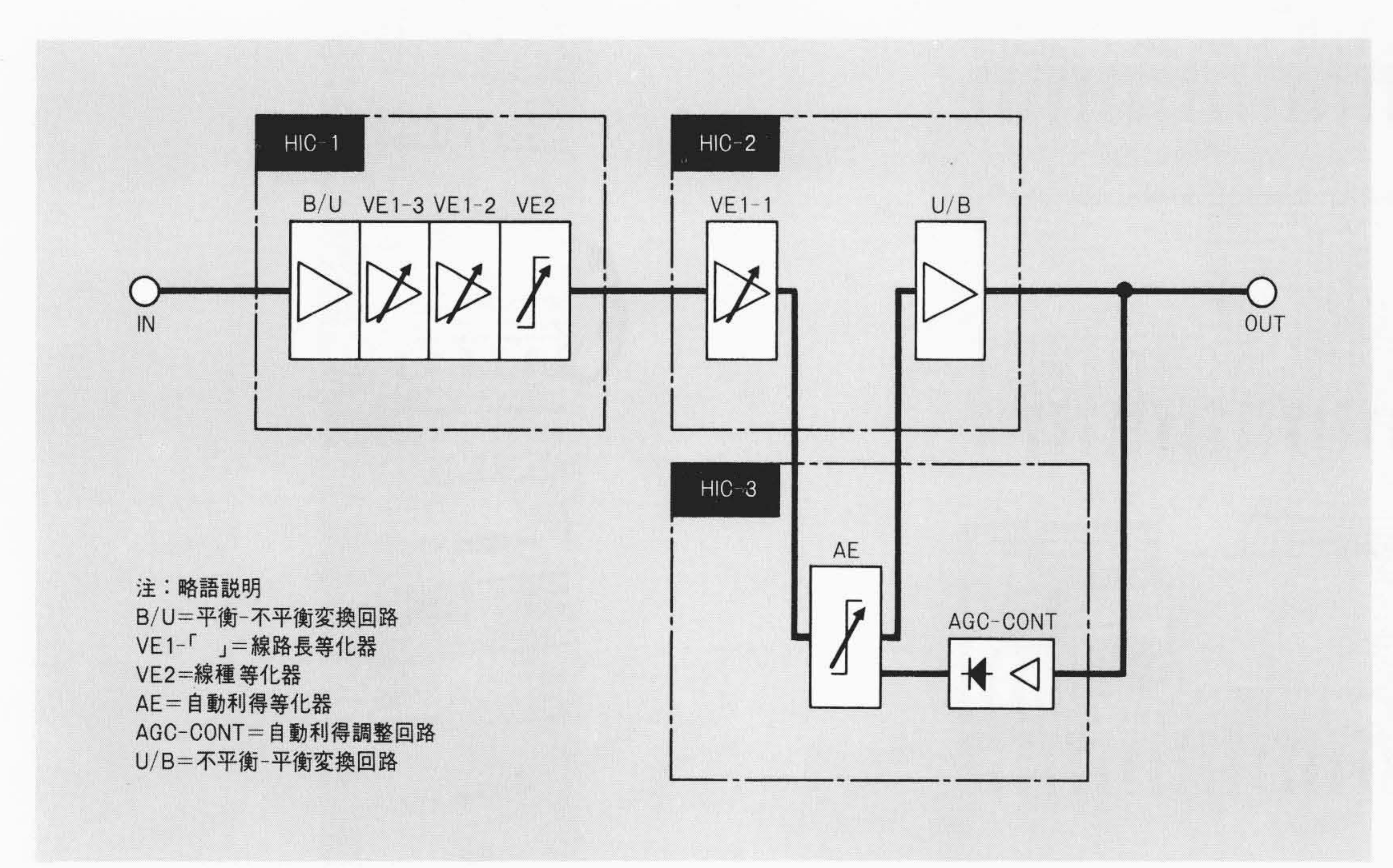


図7 IC化中継器の回路構成 (自動利得調整中継器の場合) この中継器専用に開発されたモノ リシックICを搭載したハイブリッ FIC 3品種で構成されている。

表 2 ハイブリッドICの構成 ハイブリッドICは、薄膜抵抗基板、モノリシックIC、チップコンデンサを厚膜配線基板にはんだ溶融接続したものである。

構	成	品	記事		
5	構	成	厚膜湿式配線基板 (導体部:タングステン系) 降縁部:アルミナ系		
泉	配線部	層数	I層配線		
基	形	状	22.5×61.2×1.0(mm)		
板	端子		2.5mmピッチ 24端子		
	品 種	数	3 品種		
抵	構	成	はんだ溶融接続形窒化タンタル薄膜抵抗		
亢	形	状	(A) 18.5mm × 12.5mm, (B) 9.25mm × 12.5mm		
基	ハンノの位置		全品種標準化		
坂	品 種	数	A 3 品種, B 2 品種		
半導体素子	構	成	はんだ溶融接続形シリコンモノリシックIC		
	形	状	2.5mm×2.5mm 16端子		
	品 種	#/-	6 品種(うち   品種は汎用品種)		
		数	(マスタスライス方式導入)		
;	/ デ :	/ サ	積層セラミックチップコンデンサ		

# V-1 7/17/19/F 10 V-2 7/17/19/F 10 V-3 7/17/19/F 10

図 8 ハイブリッド I C の 外観 自動利得調整中継盤は, V-1, V-2, 及び V-3の 3 種を, 固定利得中継盤は V-1, V-2の 2 種を使用している。

### 3.2 ICの構成

中継器は、経済化、高信頼度化、小形化及び消費電力の低減を図る目的で大幅なIC化を行なった。このIC化中継器は、3品種のハイブリッドICで構成され、これらのハイブリッドICに搭載されるモノリシックICはこの中継器専用に開発したものである。図7にIC化中継器の回路構成を、表2にハイブリッドICの構成を、図8にハイブリッドICの外観をそれぞれ示す。

### 4 装置構成

### 4.1 端局装置

端局装置は局舎に設置され、交換機、局内ケーブル損失などの等化補正、マンホール中継器への給電、障害監視探索などの機能をもっている。端局装置は幅520mm、高さ2,750mm、奥行225mmの標準架であり、24システムを実装することができる。図9にこの端局装置の外観を示す。

### 4.2 マンホール中継装置

マンホール中継装置は、前述のIC化中継器を実装する気密の筐体で、マンホールや洞道内に設置される。中継器は自動利得調整中継器と固定利得中継器の2種類があり、必要に応じて使い分け実装する。中継装置は6システムまで実装可

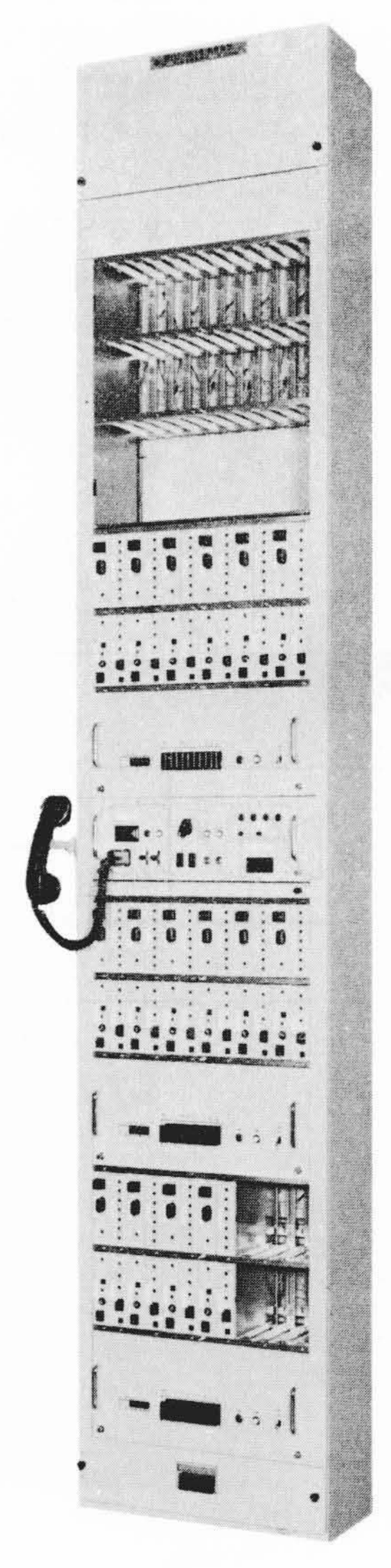


図 9 端局装置 この端局装置は、24システムを実装することが可能である。

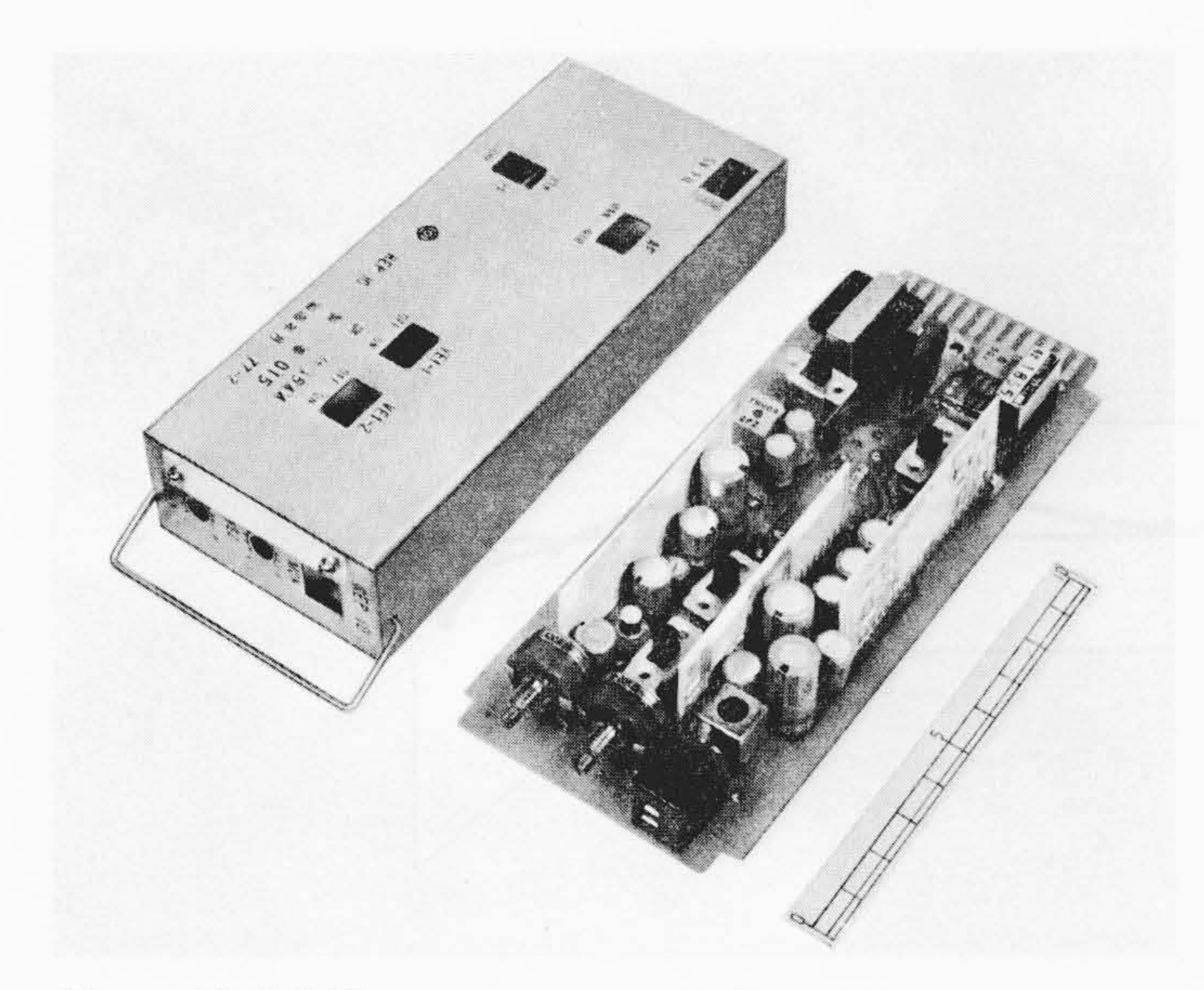
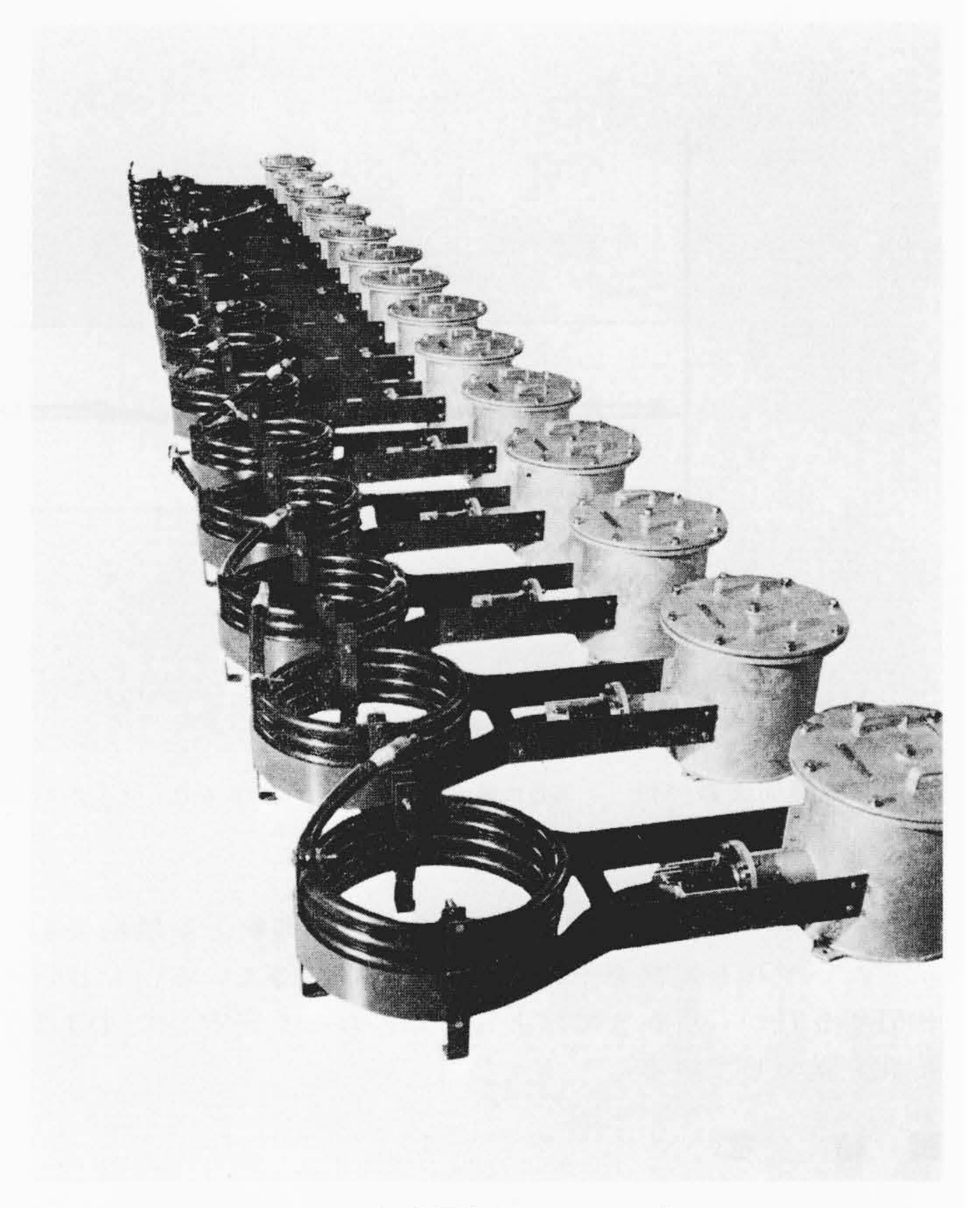


図10 IC化中継器 容積は約330cc, 消費電力は0.6Wである。

能な丸形筐体と,20システムまで実装可能な角形筐体の2種類を開発した。筐体は冷間圧延鋼板,配管用炭素鋼管などを使用し,気密構造としている。また筐体表面には溶融亜鉛めっきを施し,腐食を防止している。ケーブルとの接続は、中

表 3 試験結果 試験の結果は、十分ゆとりをもって規格を満足していることが分かる。

項	目	規格	試験結果
ランダム雑音(SN比評価値)		<b>4</b> 5dB	53.6dB
直線ひずみ	減衰ひずみ	図9参照	図9参照
	群遅延ひずみ	±150ns	-50ns
非直線ひずみ	微分利得	26%	2.4%
非国旅びりみ	微分位相	13度	2.8度
周 期	性 雑 音	50dB	59.6dB



図II 丸形マンホール中継装置 $(400 \, \text{mm} \times 325 \, \text{mm})$  この筐体は気密構造となっており、マンホール内に設置されるときは、約 $0.6 \, \text{kg/cm}^2$ の乾燥空気を封入する。

継装置に付属しているスタブケーブルを介して行なう。スタブケーブルと筐体との間にはガスダムを設け、ケーブルと筐体とのガスの流通を防止している。図10にIC化中継器の、図11に丸形マンホール中継装置の外観を示す。

# 5 試験結果

図12にIC化中継器用実験回線の構成を、表3にその試験

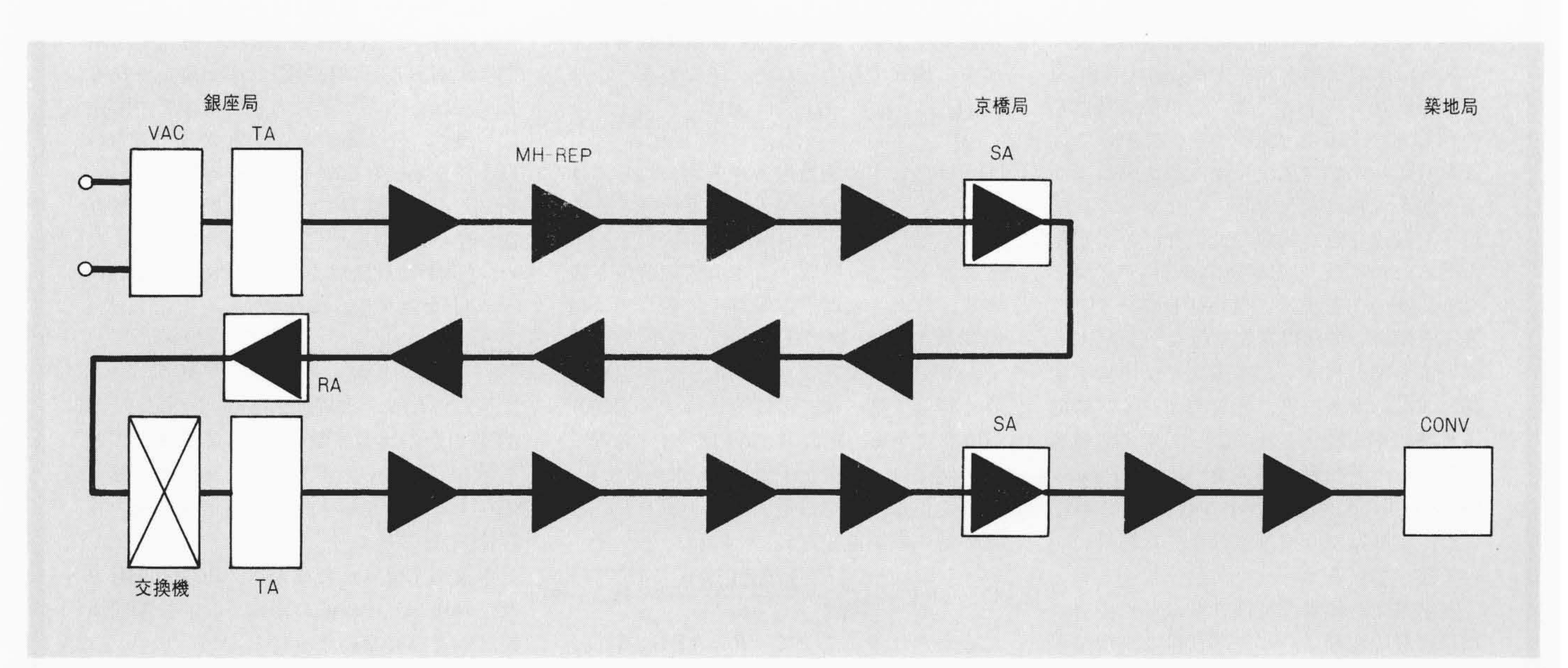


図12 実験回線の伝送路構成例 全長6.2kmを18中継で構成している。

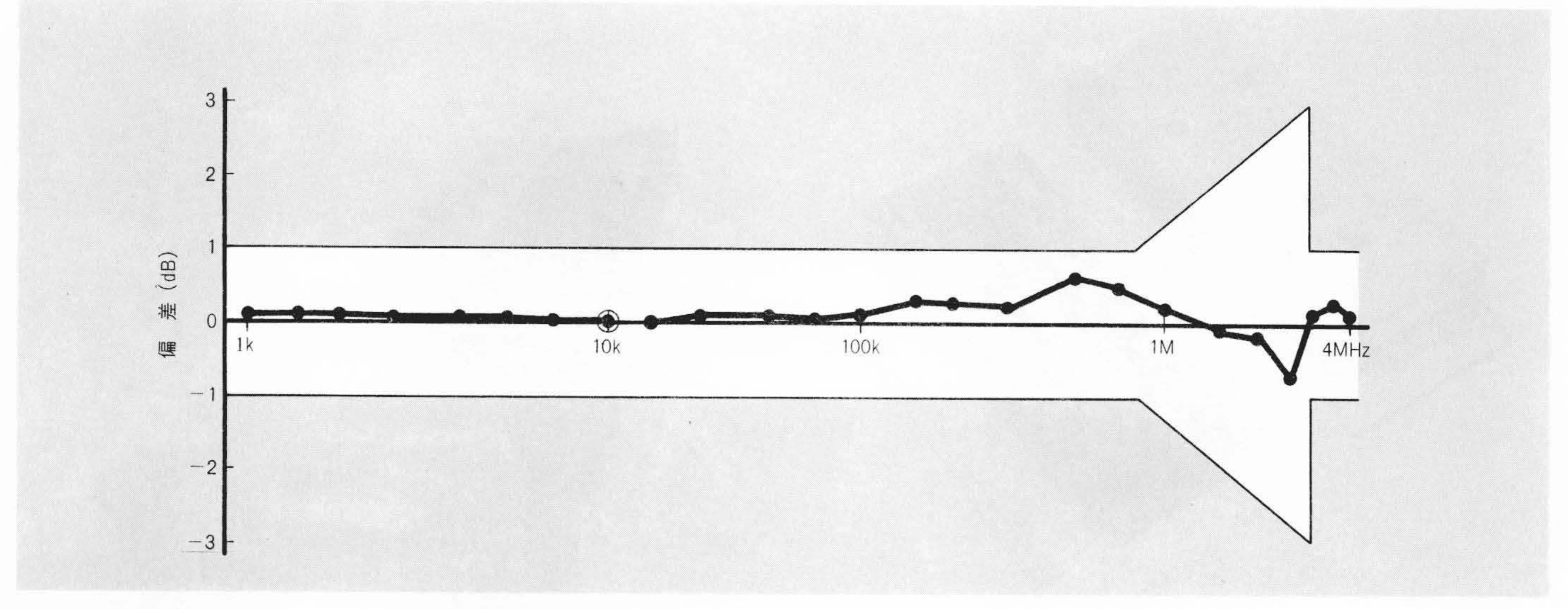


図13 振幅周波数特性 偏差の最大値は、プラス側は0.6dB、マイナス側は0.75dBであった。

結果を示す。また図13に振幅周波数特性の規格と試験結果を 示す。いずれも規格を十分満足する結果を得ている。なお昭 和51年9月から現在までほとんど障害もなく安定して目標の 特性を満たしている。

### 6 結 Ħ

以上、経済化、小形化、消費電力の低減を目的に開発した IC化中継器を中心に映像伝送方式について述べた。この方 式はVRSの実験に供し、良好に動作している。

終わりに、この方式の開発に御指導、御協力をいただいた 関係各位に対し厚く御礼申しあげる。

### 参考文献

- 1) 石塚、ほか3名:傾斜形能動等化器の簡易構成、昭53電子通 信学会全国大会, No. 1785, 昭53年3月, 8, p.7
- 2) 平塚, ほか3名:基底帯域映音同時伝送方式, 昭52電子通信 学会全国大会, No. 1598, 昭52年3月, 7, p. 182
- 3) 柿原、ほか5名:能動形可変等化器を適用したビデオ中継器, 昭53電子通信学会全国大会, No. 1083, 昭53年3月,5,p. 111



# APDのバイアス電圧制御による光受信系の AGC特性

日立製作所 山下喜市・前田成道 電子通信学会誌 61-1, 55 (昭53-1)

光通信方式では、受信検波器にAPD(Avalanche Photo Diode)が使われるが、こ の素子には従来の検波器とは異なり、受信 S/Nを最大あるいは所要光受信電力を最小 にする最適増倍率が存在する。通常のPCM 長距離伝送システムでは、この最適増倍率 の値は50~150と大きく、この近傍では APDのバイアス電圧や温度の変動により その値が大幅に変化する。したがって、増 倍率を最適化した状態で受信性能の安定化 を図るためには、増倍率の安定化が必須と なる。その一方法として、APDのバイアス 電圧を制御して利得調整を行なう全AGC方 式がよく使われるが、本論文では増倍率変 動と設計パラメータ, 光入力とバイアス電 圧, 増倍率変動とそれによって生ずる最適 状態からの所要光受信電力の増加(Power Penalty)の関係をそれぞれ解析的に求め、 また、実験により検証を行なった結果につ いて述べている。

基準電圧vrに温度特性をもたせた場合の 増倍率Mの変動は、ループ利得及び増倍率 が1より十分大きければ、光入力等価電圧  $\epsilon v_i$ , 信号及び帰還増幅器利得をそれぞれ G,  $G_d$ , 出力電圧を $v_0$ , 温度をT, APD の 電源電圧をV,降伏電圧の温度係数をKと すると次式で与えられる。すなわち、

 $\frac{dM}{M} = -\frac{dv_i}{v_i} - \frac{(G_d \ \overline{\partial} T - K)}{G_d v_0} dT + \frac{dV}{G_d v_0} \cdots (1)$ (1)式は増倍率の関数形が光入力に対しては  $Mv_i$ 一定, すなわち光入力に反比例するこ とを示しており、これは光入力変動をバイ アス制御により吸収する本方式の特徴を表 わす。また、温度、電源電圧に対しては指 数関数となり、増倍率の変動は $G_{dv_0}$ で決ま る。なお、基準電圧と降伏電圧との温度特 性を等しく選べば、温度変化による変動分 はOにできる。光入力とAPDバイアス電圧 との関係は、同様な手法により求められる。 この関係は、光受信電力の最小値をPmin, その時の制御電圧をvaoとすれば、

 $V - v_a = V - v_{a0} \sqrt{1 + \frac{2 G_d G V_B R R_L}{n v_{a0}^2}} (P - P_{min}) \cdot \cdot \cdot (2)$ で表わされる。ここで、RはAPDの感度、

 $R_L$ は負荷抵抗、Pは光入力、nは定数であ る。出力電圧も(2)式と同形で表わされるこ とはva∝voから容易に分かる。

ところで、APDを受光器とする光受信系 ではS/Nあるいは符号誤り率が規定される と、それを満たす光入力と増倍率との関係 は一義的に決まる。したがって、光入力の 最小値を与えれば最適増倍率が決まる。し かし, 実際の装置では素子定数の温度依存 性や経時変化により設定条件が変動するた め、増倍率は最適点よりずれPower Penalty  $\Delta P$ を生ずる。これは、

 $\Delta P = 10\log(1 + \frac{dM}{M_{opt}}) \cdot \{1 + (1+x)\frac{dM}{M_{opt}}\}^{\frac{1}{1+x}}$ (3) で与えられる。(3)式はPower Penalty が APDの余剰雑音係数xによって決まること を示し、増倍率の正変動より負変動に強く

依存することを示す。また、増倍率変動の許 容範囲は $\left|\frac{dM}{M_{att}}\right| < \frac{1}{1+x}$ であることも分かる。

本論文で得られた成果は、PCM100Mb/s 及び6Mb/s光中継器に応用され、長期間連 続試験で良好な結果を得た。